

F = H

| | | | |
|------------------|-----------------|------------------------------------|------|
| O/H ₃ | 6 | copying, " XI 2290 | 1964 |
| F/H ₂ | 10 | | |
| S/C | 1000 | cftka 11.-4. | |
| T/R | 20.7 | Chem. acts, 1964, 2, 41, 84-85/400 | |
| P/H ₃ | | Indenfinitiaproblem cis-fischer | |
| M/e | | etc. etc. | |
| | | | |
| | | | |
| | | | |
| File | 24, 1965, 4D.49 | to | |

$H_2F_3^-$

B9 - 7024-X

1967

37817f Infrared spectra of KH_2F_3 and the structure of the $H_2F_3^-$ ion. A. Azman, A. Ocvirk, D. Hadzi, Paul A. Giguere, and Michel Schneider (Inst. Boris Kidric, Ljubljana, Yugoslavia). *Can. J. Chem.* 45(12), 1347-50(1967)(Eng). The ir absorption of KH_2F_3 and KD_2F_3 in the solid state was measured between 4000 and 200 cm^{-1} . The observed bands can be assigned to the stretching and bending modes of the bent $H_2F_3^-$ ion. A normal coordinate analysis was carried out to det. the Urey-Bradley force consts. The H atoms are not exactly halfway between 2 F atoms, contrary to the case of the HF_2^- ion.

RCCM

C.A. 1967. 67.8

H_nF

(сиг. автор-реф. от 61)

1967

Түгзетіко д.н.

Філікелібеков Б. д.

Этим из
своих Чинуловской разработки.
бакинских аномалий
среде как немногих
они неизвестны изображены

Москва, физ.ин-т. им. Лебедева Академия
наук СССР, 1967. ?

F₂H₆

200cc.

deep-pa

Pearson R. G.

1970

J. Chem. Phys.,

1970, 52, 5, 2164

(C₆. C₂ H₆) III

FH₃

Klausen K. H.

1971

Frenkel E.

pactem

Theor. chim. acta 1971,
20, N2, 105-112



(Cer. BeH₂)^{III}

FH_n

$h=1-5$

длекр.
смоль.

Lathan. W. A.;
et al.

1971

"J. Amer. Chem. Soc"

1971, 93, N24, N6377-87.

● (act. CH_n; III)

X7 3441

1972

FH₃

62535x Shapes of three hypervalent systems of first-row atoms FH₃, H₄O, and F₃H. Shillady, Donald D.; Trindle, Carl (Chem. Dep., Virginia Commonw. Univ., Richmond, Va.). *Int. J. Quantum Chem., Symp.* 1972, No. 6, 187-200 (Eng). J. I. Musher's theory (1969) of hypervalent mols. accounts for the shape of numerous mols. contg. 2nd- and 3rd-row atoms of Groups V, VI, and VII. In an attempt to exam. the hypervalent bonding mechanism in a system free of competing *d* orbital effects, 3 hypervalent systems of 1st-row atoms, H₄O, FH₃, and HF₃ are considered. Gaussian computations employing very small lobe-representations of Slater-type AO indicate that H₄O assumes a typical hypervalent geometry, with 2 colinear weak OH bonds and 2 covalent OH bonds, in a normal plane. This prediction survives an improvement in basis. The crudest computation indicates a *D*_{3h} geometry for FH₃, but an improved basis leads to a *T*-shaped mol. consistent with the theory of hypervalent mols. F₃H does not possess a stable hypervalent geometry; it is computed to be unstable relative to rare gas structure F₃⁺ + H⁻. The reliability of the small basis in a system with 3 fluorines is questionable.

Configur.

Ref. art.

particular

C. A. 1973. 78. N 10, 62535x ⊗ (2) H₄O; F₃H.

F₃H

XI 3441

1972

Cuprum.
Kb. Mex.
pacrum

Shillady, Donald D, et al
Int.J. Quantum. Chem. Symp.
1972, N6, 187-200.

(c.u. F₃H; III)

FH_3

Чему

X. 1973

N 15

15 Б28. Геометрическое строение трех гипервалентных систем, включающих атомы второго периода: FH_3 , H_4O , F_3H . Shillady Donald D., Trindle Carl. The shapes of three hypervalent systems of first-row atoms FH_3 , H_4O , and F_3H . «Int. J. Quant. Chem.», 1972, Symp. № 6, 187—200 (англ.)

Исследована природа связи в гипервалентных молекулах, MX_k , содержащих атомы 3-го и 4-го периодов, V, VI и VII групп, необычное геометрич. строение к-рых объясняют либо участием вакантных d -орбит центрального атома в гибридизации, либо образованием наряду с обычными ковалентными ($\text{M}-\text{X}$) трехцентровых четырехэлектронных связей ($\text{X}'-\text{M}-\text{X}'$), линейные группировки).

Проведены расчеты методом МО ЛКАО ССП электронного строения 3 гипотетических гипервалентных молекул H_4O , FH_3 , F_3H , включающих атомы 2-го периода, где участие вакантных $3d$ -АО в связях маловероятно. В кач-ве базиса использован миним. ряд функций слейтеровского типа, аппроксимированных небольшим числом гауссовых лепестковых функций [базис (212): две для $1s$ -АО, одна для $2s$ -АО и две для $2p$ -АО]. Результаты расчетов длии связей и межатомных расстояний в этом базисе для молекул H_2 , F_2 , HF и H_2O находятся в качеств. соответствии с данными

1972
364/
X

более строгих расчетов. Полученная для H_4O структура типична для гипервалентных систем: две ковалентные связи $\text{O}-\text{H}$ ($R_{\text{ОН}}=2$ ат. ед. и угол НОН 90° были фиксированы) и две более слабые связи $\text{O}-\text{H}'$, образующие линейную группировку, перпендикулярную к плоскости НОН (найдено, что $R_{\text{ОН}'}=2,5$ ат. ед. и угол $\text{H}'\text{ОН}' 180^\circ$). Расчет показал, что H_4O устойчива по отношению к диссоциации на H_3O^+ и H^- , H_2O и 2H , но неустойчива по отношению к диссоциации на H_2O и H_2 . Полученные результаты не меняются при небольшом улучшении базисного набора до (414). Геометрическое строение молекулы FH_3 в базисе (212) соответствует плоскому треугольнику (симметрия D_{3h}), но при расширении базиса до (414) оптимальной становится T -образная форма; FH_3 неустойчива по отношению к диссоциации на $\text{FH}+\text{H}_2$ и $\text{FH}+2\text{H}$. Установлено, что молекула F_3H не обладает устойчивой гипервалентной структурой и неустойчива по отношению к диссоциации на F_3^+ и H^- . Обсуждена приемлемость использованного базисного набора к расчетам систем с тремя атомами фтора.

Н. М. Клименко

HF₃

Ananthakri shaa T.L.: 1973

"J. Mol. Struct."

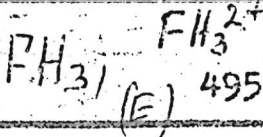
1973, 16, N^o 1, 149-157.

(c.ii)

• /_{Cu} CH₄; II)

31207.9059

TE,SIS,Ch,P



49587

1973

1395

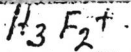
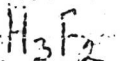
vol. 31, N 3, 1973, 205-214
C. R. Acad. Sci. Paris, Sér. II, 1973, 275, 525-528

Dierecksen G., H., F., Niessen W., Kraemer W.P. SCF LCCG MO studies on the fluoronium ion FH_2^+ and its hydrogen bonding interaction with hydrogen fluoride FH. "Theor. chim. acta", 1973, 31, N 3, 205-214

CA 1974 80 (англ.)
W10,52,567m

996 997 0 1 1013 ник винити

31207.9059



1973

TE,SIS,Ch,P

49587
no-teus, kpub

1395

von
Diereckson G., H. F., Niessen W., Kraemer W.P. SCF LCCO MO studies on the fluoronium ion FH_2^+ and its hydrogen bonding interaction with hydrogen fluoride FH. "Theor. chim. acta", 1973,
 31, N 3, 205-214 (англ.)
(если Tandee FH₂)

996 997 0 1 1013 кик винити

1973

He...HF

Lischka Hans

Chem phys 1973, 2/2)

191-202 (Eng)

Kb. uex

vacuum

(see He...HF; III)



C.A. 1974

80 N24

1974

F

 H_n $1 \leq n \leq 4$

Accuracy of AH_n equilibrium geometries by single determinant molecular orbital theory.

Mariharan P.C. Pople J.A.

Mol. Phys. 1974, 27 (1) 209-14 (Eng)



(see CH_n ; III)

1974

✓ 18147b Infrared spectra studies of hydrogen fluoride adsorbed on potassium bromide. Wada, Kazuhiko; Takenaka, Tohru; Hayashi, Soichi; Takeno, Shozo (Dep. Nucl. Eng., Kyoto Univ., Kyoto, Japan). *Proc. Int. Conf. Solid Surf.*, 2nd 1974, 109-12 (Eng). Edited by Kumagai, Iihiro; Toyama, Tomiyuki. Jpn. J. Appl. Phys.: Tokyo, Japan. Ir absorption spectra of adsorbed HF on the inner surface of KBr windows were obsev. at room temp. As the equil. gas pressure p over the adsorbed species is changed, different spectra are obtained for the following pressure ranges: (a) $p \geq 40$, (b) $15 \leq 15p \leq 30$, (c) $3 \leq p \leq 11$; and (d) $p \leq 2$ torr. Spectral changes between adjacent pressure ranges are sharp, and these changes occur almost reversibly with variation of the pressure. The 4 spectra are considered to correspond to the 4 phases of adsorption: (a) $\text{KF}\cdot n\text{HF}$ ($n \geq 4$); (b) $\text{KF}\cdot 3\text{HF}$; (c) $\text{KF}\cdot 2\text{HF}$; and (d) $\text{KF}\cdot \text{HF}$.

C. A. 1975.83 N2

FH₃

1975

Aceioly C.S.R., et al.

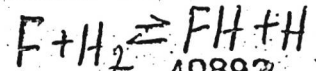
J. Phys. B: Atoll. and
mol. Phys. 1975, 8,
N18, 2987-94.

(
ICL. elect.
paer
m. elecione)

(all BH) II

51118.1834

TC, MGU, Ch., Ph



40892
номеру, полученн.

1975

ХС-10340

Jaffe Richard L. и Morokuma Keiji, George Thomas F. Ab initio and semiempirical study of multiple surfaces and their analytic continuation for collinear $F(^2P_{3/2}, ^2P_{1/2}) + H_2 \rightarrow FH + H$.

"J. Chem. Phys.", 1975, 63, N 8, 3417-3424
(англ.)

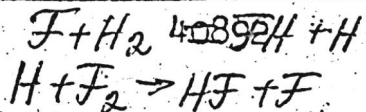
0489 пись

476 478

481

ВИНИТИ

60503.7216
Ch, Ph, TC



1976
4213

Halavée U., Shapiro M.

A collinear analytic model for atom-diatom chemical reactions.

"J.Chem.Phys.", 1976, 64, N 7, 2826-2839
(англ.)

0805 РНК

591 592

597

ВИНИТИ

FH_3^+

Bogaerts O. P.,
Zhigolov D. A.

1977

. Chem. Phys. Lett. "

paerces
1977, 46, n3, 450 - 452.

decresp.

decrees.

(ass. OH_4^+) III

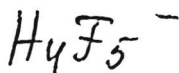
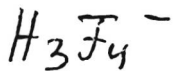
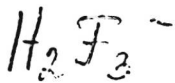
H₂F₃⁻

Crafts
Ji

87 ND

S. 60143v Hydrogen bonding. 8. Preparation, properties, and low-temperature infrared structural analysis of ammonium and alkylammonium trihydrogen tetrafluorides and tetramethylammonium dihydrogen trifluoride. Gennick, Irene; Harmon, Kenneth M.; Potvin, Mary M. (Dep. Chem., Oakland Univ., Rochester, Mich.). *Inorg. Chem.* 1977, 16(8), 2033-40 (Eng). Trialkylammonium trihydrogen tetrafluorides are extremely stable species in which the cation is H bonded to the central fluoride of a C_nH₃F₄ anion; these zwitterionic liq. complexes resist loss of HF even at elevated temps. and can be distilled intact. Ammonium and methyl- and dimethylammonium ions form similar complexes with addnl. H bonding from extra cation H to terminal F in the anion. The structure of these compds. accounts for the unusual stability order of acid fluoride complexes of H-bond donor cations relative to alkali metal cations; in each series the highest complex species stable at room temp. is one in which the central fluoride is coordinately satd. with 4 H bonds. The broad, diffuse room-temp. IR spectra of these complexes are completely resolved at 12 K and show in addn. to bands of the cationic and anionic species an intense set of bands in the 2900-2300-cm⁻¹ region. These anomalous bands are combination bands formed by intramol. coupling of the H-F and F-F stretching frequencies. The low-temp. IR spectrum of the C₂₀H₂F₃⁻ anion in tetramethylammonium dihydrogen trifluoride shows similar combination bands, which shift on D substitution.

1977



10 Д567. Водородная связь. Ч. VII. Исследование низкотемпературных ИК-спектров дигидротрифторида, тригидротетрафторида и тетрагидропентафторида калия; структура иона $H_3F_4^-$. Нагтон Кеннет М., Генник Ирене. Hydrogen bonding. VII. Low temperature infrared spectral studies of potassium dihydrogen trifluoride, trihydrogen tetrafluoride, and tetrahydrogen penta-

лес. № 0000000

1/1; Супересме

АСИЛЬ
ован

...

Ф. 1977 № 10

(+2)

fluoride; structure of the H_3F_4^- ion. «J. Mol. Struct.», 1977, 38, May, 97—107 (англ.)

Получены ИК-спектры поглощения кристаллич. $\text{K}^+\text{H}_2\text{F}_3^-$, $\text{K}^+\text{H}_3\text{F}_4^-$ и $\text{K}^+\text{H}_4\text{F}_5^-$ при комнатной т-ре и при 12—18°К. Выполнено полное отнесение фундаментальных колебаний анионов. Широкая ($\sim 400 \text{ см}^{-1}$) полоса валентных колебаний F—H не имеет структуры; в области же деформационных колебаний F—H—F ($1200—800 \text{ см}^{-1}$) разрешены все предсказываемые теорией полосы. Близкие значения частот вал. кол. F—H ($1750—1800 \text{ см}^{-1}$) в трех ионах подтверждают примерно одинаковую прочность водородной связи в них (порядка 10 ккал/моль), значительно меньшую, чем в ионе HF_2^- . Доказана симметрия иона H_2F_3^- C_{2v} , а H_4F_5^- — D_{2d} , т. е. в последнем случае более низкая, чем предполагалось из рентгеноструктурных исследований. Сделан вывод, что ион H_3F_4^- имеет не цепную структуру (C_{2h}), а три гидрофторида в нем связаны водородной связью с центральным ионом F⁻ (симметрия C_{3v}). Библ. 35. Ч. VI см.

С. Ф. Б.

$H_4F_5^-$

1977

Harmon Kenneth M.,
et al.

1.; compaess. "J. Mol. Struct.", 1977,
38, May, 97-107 (anw)

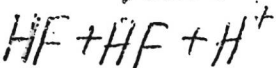
all $H_2F_3^- - \overline{H}$

70325.6638

96200

1977

Ch, Ph, TG



X 4-18011

Otto P., Ladik J. Investigation of the interaction between molecules at medium distances. II. Perturbational and MCP calculations with directly integrated potentials and in the monopole approximation. "Chem. Phys.", 1977, 19, N 2, 209-216 (англ.)

805 809

230

0839 ПИК ВИНИТИ

Физика газов

1978

89: 206635g Nature of bonding in halogen fluoride compounds and inert gases according to the data of MO-LCAO SCF data. Klimenko, N. M.; Smolyar, A. E.; Zakzhevskii, V. G.; Charkin, O. P. (USSR). 5-I Vses. Simpoz. po Khimii Neorgan. Ftoridov, Dnepropetrovsk, 1978 1978, 137 (Russ). From Ref. Zh., Khim, 1978, Abstr. No. 16B42. Title only translated.

KB. neek.
paett.

C.A. 1978, 89, 134

FH_2^+
 FH_2^{2+}
 FH_2^{3+}

onmunea 7d28 1978.

Tanakata Y.

nb. rec.
paper,
your elgy,

Chem. Phys. Lett
1978, 59 (3) 472-77



1979

11 Д280. Расчеты молекулярных столкновений, сопровождающихся реакцией. Соппог J. N. L. Reactive molecular collision calculations. «Comput. Phys. Commun.», 1979, 17, № 1-2, 117—144 (англ.)

Обзор последних теоретич. работ по расчету динамики реакционных молекулярных столкновений. В обзоре обсуждаются типы теорий реакционных столкновений: статистические, динамические и т. д.; современные неэмпирич. расчеты поверхностей потенц. энергии ППЭ, их точность и удобство в практическом использовании, различные методы интерполяции ППЭ: интегральный и локальной, достаточно простые в применении к конкретным расчетам. Приведены примеры расчетов ППЭ для конкретных систем и обсуждается точность таких расчетов, необходимая для достоверного сравнения с экспериментом. Дан обзор развитых к настоящему времени квантовых и классич. приближенных теорий для расчета динамики реакционных молекулярных столкновений. В качестве примера подробно рассмотрена коллинеарная экзотермич. реакция $X + F_2 \rightarrow XF + F$ ($X = \text{Mn, H, O, T}$). Библ. 504.

А. И. Шушин

молекул.
столкнов.
поверхн.
потенци.
энергии.

ср. 1049 VII

H₂F

1980

Carter S., et al.

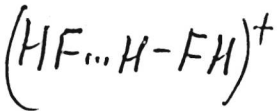
notes.

notes.

notes.

J. Mol. Phys., 1980,
41, N 3, 567-581.

(see LiFH; II).



monocyst.
noncrys,
anhydrous
noncrystalline

[Ottawa 10098] 1980

Desmeules P.Y. et al.

J. Chem. Phys. 1980,
72 (9), 4731-48

1980

HF-HF

8 Д148. Структура димеров $\text{HX}-\text{HX}'$. Замечания
относительно потенциалов взаимодействия. Structure of
the $\text{HX}-\text{HX}$ dimers Remarks about interaction potentials

Girardet Claude, Schriver André, Maillard
Daniel. «Mol. Phys.», 1980, 41, № 4, 779—795 (англ.)

С использованием потенциала вида

$$V = \sum_{l_1=0}^4 \sum_{l_2=0}^4 \sum_{m_1 m_2} A_{l_1}^{m_1 m_2}(R) \times Y_{l_1 m_1}(0_1 \varphi_1) Y_{l_2 m_2} \times \\ \times (0_2, \varphi_2) (m_1 + m_2 = 0),$$

включающего электростатическую, поляризационную и обменную составляющие, определена геометрич. структура димеров $\text{HF}-\text{HF}$, $\text{HCl}-\text{HCl}$, $\text{HCl}-\text{HF}$, $\text{HF}-\text{HCl}$.

На основе полученных данных проанализированы внутренние низкочастотные либрационные колебания, рассчитаны главные моменты инерции вращающегося комплекса. Рассчитанные средние межмолекулярные расстояния занижены на 5%; остальные результаты находятся в хорошем согласии с экспериментом.

В. И. Барановский

22066287652.
07-02-1980
Барановский
Барановский

4 13

ф. 1981 № 8

FH₃

OMMNICR 10606 1980

94: 36719w Ligands of low electronegativity in the VSEPR (valence shell electron pair repulsion) model: electron-rich hydrides MH_3E_2 , MH_4E , MH_5E , and MH_6E [E = nonbonding electron pair]. Glidewell, Christopher (Dep. Chem., Univ. St.

С.С. на основе

смфукт.

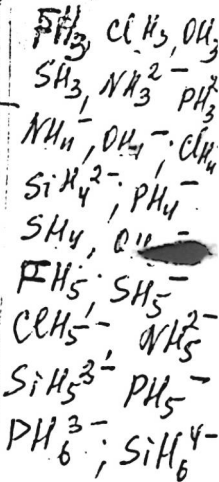
нападающий

загуб с резким ил. оружия.

(т20)

С.А.1981.04, N6

Andrews, St. Andrews/Fife, Engl. KY16 9ST). *J. Mol. Struct.* 1980, 67, 121-32 (Eng.). Hydrides FH_5 , CH_5 , and OH_5^- of type MH_5E are calcd. to adopt D_{3h} structures: NH_5^{2-} , PH_5^{2-} , and SiH_5^- each have 2 energy min., one at D_{3h} and the other at a T-shaped geometry, of which the D_{3h} is the more stable for SH_5^- but the less stable for NH_5^{2-} and PH_5^{2-} . Hydrides NH_4^+ , OH_4^+ , and CH_4^+ of type MH_4E have a single energy min. at T_d : CH_4^+ , SiH_4^{2-} , PH_4^- , and SH_4 each have 2 min., one at T_d (more stable for SH_4 only) and one at an SF_4 -like C_{2v} geometry, which is the more stable for CH_4^{2-} , SiH_4^{2-} and PH_4 . The D_{3h} and C_{4v} structures are very close in energy for all hydrides of type MH_5E , with no activation barrier between the 2 configurations: D_{3h} is the more stable configuration for OH_5^- , FH_5 , SH_5^- , and CH_5 , but C_{4v} is the more stable for NH_5^{2-} , SiH_5^{3-} , and PH_5^- . The T_{1u} bending force const. in hydrides MH_5E becomes neg., for C_{3v} distortion, in PH_6^{3-} and SiH_6^{4-} . Both the equil. geometries and the force consts. strongly support an interpretation, in terms of the second-order Jahn-Teller effect, of the obsd. stereochem. inactivity of non-bonding electrons in the presence of ligands of low electronegativity. Mol. energies, equil. geometries, orbital energies and electron populations are reported for all species considered. Three mol. states of CH_4^+ , of type MH_4E_2 , were also briefly investigated.



отмечен 10606

1980

FH_3

(мод. геом. сим. нест.)

ClH_3

OH_3

NH_3

PH_3^{2-}

SH_3^-

SiH_5^{3-}

FH_5

Р. 1681.12

2 Д116. Лиганды малой электроотрицательности в модели отталкивания валентных электронных пар. Электроизбыточные гидриды MH_3E_2 , MH_4E , MH_5E и MH_6E . Ligands of low electronegativity in the VSEPR model: electron-rich hydrides MH_3E_2 , MH_4E , MH_5E and MH_6E . Glidewell Christopher. «J. Mol. Struct.», 1980, 67, 121—132 (англ.)

Методом ССП МО ЛКАО в валентном приближении МЧПДП/3 в рамках описанного ранее подхода (см. Glidewell C., «J. Mol. Struct.», 1980, 65, 231) исследовано электронное строение электроизбыточных гидридов вида MH_3E_2 , MH_4E , MH_5E и MH_6E , где E обозначает несвязывающую пару электронов. Проведена полная оптимизация геометрии для типов симметрии D_{3h} и C_{2v} ; T_d , C_{2v} и D_{4h} ; D_{3h} и C_{4v} ; O_h для каждого указанного типа структуры соответственно. Обнаружено, что для FH_3 , ClH_3 и OH_3^- стабильны структуры симметрии D_{3h} ; для NH_3 и PH_3^{2-} выгоднее Т-образные структуры, а для SH_3^- — структура симметрии D_{3h} .

(+6) №

хотя стабильны оба типа структур. Для NH_4^+ , OH_4^- и ClH_4^+ стабильны только структуры T_d , для SH_4^- более выгодна структура T_d , а для CH_4^{2-} , SiH_4^{2-} и RH_4^- — структура C_{2v} типа SF_4 , хотя стабильны оба типа структур. Для всех гидридов типа $M\text{H}_5E$ структуры D_{3h} и C_{4v} очень близки по энергии и энергетич. барьер между ними отсутствует; для OH_5^- , FH_5 , SH_5^- и ClH_5^- более выгодны структуры D_{3h} , а для NH_5^{2-} , SiH_5^{3-} и RH_5^{2-} — C_{4v} . Рассчитаны и обсуждены силовые постоянные деф. кол. Отмечено, что закономерности для равновесной геометрии и силовых постоянных согласуются с основанной на эффекте Яна—Теллера второго порядка интерпретацией стереохимич. неактивности несвязывающих электронов в присутствии лигантов с малой электроотрицательностью.

В. Л. Лебедев



1950

6 Б45. Лиганды с низкой электроотрицательностью в модели отталкивания электронных пар. Электроизбыточные гидриды MH_3E_2 , MH_4E , MH_5E и MH_6E . Glidewell C. Ligands of low electronegativity in the VSEPR model electron-rich hydrides MH_3E_2 , MH_4E , MH_5E , and MH_6E . «J. Mol. Struct.», 1980, 67, 121—132 (англ.)

Методом МЧПДП/З выполнены расчеты электронного и геометрич. строения электроизбыточных гидридов непереходных элементов 2 и 3 периодов общей ф-лы MH_nE_k , где $n=3-6$, $k=1, 2$, E обозначает неподеленную пару электронов, к-рая в рамках модели отталкивания электронных пар локализована на центральном атоме. В случае гидридов типа MH_3E_2 найдено, что для FH_3 , ClH_3 и OH_3^- оптимальной является плоская структура симметрии D_{3h} , тогда как для NH_3^{2-} , RH_3^{2-} и SH_3^- на их потенциальных поверхностях имеется по два минимума, соотв-щих D_{3h} - и T -образной структурам, причем для первых двух более устойчивой является D_{3h} , а для последнего T -образная структура. На потенциальных поверхностях гидридов типа MH_4E , таких, как NH_4^- , OH_4^- и ClH_4^+ , имеется только один минимум, соотв-щий геометрии правильного тетраэдра, а для изоэлектронных им гидридов С, Si, P и S обнаружено по

Эк. классиф.

Справки

(+) T

Х. 1981/16

отмечено

два минимума: один при тетраэдрич.-геометрии, а второй для структуры симметрии C_{2v} (структура типа SF_4), причем такая геометрич. конфигурация более устойчива, только для тетрагидридов С, Si и P. В случае пентагидридов для всех рассмотренных систем обнаружено, что структуры симметрии D_{3h} и C_{4v} очень близки по энергии, и переходы между ними должны происходить без барьера. Структура с симметрией D_{3h} более устойчива для гидридов O, F, Cl и S, а структура симметрии C_{4v} для гидридов N, Si и P. Для всех рассчитанных систем представлены значения полных и орбитальных энергий, оптим. геометрич. параметров и результаты анализа заселенности. Рассчитаны также значения энталпий образования, к-рые показывают неустойчивость нек-рых систем к диссоциации с образованием, как правило, двух ионов H^- . Для систем типа MH_6E (к-рые являются октаэдрическими, если они устойчивы к диссоциации) рассчитаны, кроме того, силовые постоянные для колебаний симметрии T_{1u} , а также коэф. одно-, двух- и трехкомпонентных потенциальных функций при указанном типе деформаций. Данные по равновесным параметрам и силовые постоянные подтвердили правильность интерпретации геометрич. особенностей в рамках псевдоэффекта Яна — Теллера, согласно к-рой неподеленные пары являются стереохимически неактивными при наличии лигандов с низкой электроотрицательности. Рассмотрены также три низко-лежащих электронных состояния систем $-SiH_4^-$ типа MH_4E_2 , стереохимия к-рой объяснена в рамках эффекта Яна — Теллера первого порядка.

С. Долин

H_3F^{2+}

Lommeeck 9996

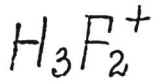
1980

Moskva.

USSR

Gledhill C.

J. Mol. Street. 1980,
65, 231-8



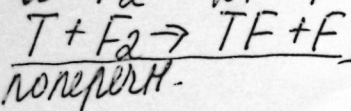
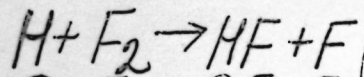
1980

Swepston P.N., et al

Rb. ex.
pacet
M.N.
well.

Chem. Phys. Lett., 1980,
72, N₂, 364 - 367.

( HF ; 



CEREMUL

Lommel 12949

1981

Clari D.C., Connor J.N.H.,
J. Chem. Phys. 1981, 75(7),

1981

96: 91880h Curve crossing and vibrational predissociation of van der Waals molecules. Ewing, George E. (Dep. Chem., Technion-Israel Inst. Technol., 32000 Haifa, Israel). *Chem. Phys.* 1981, 63(3), 411-18 (Eng). The van der Waals mols. of the type A-B...C are considered where A-B is a chem. bonded mol. attached by van der Waals forces to another mol. or atom C. The vibrationally excited complex A-B^{*}...C is metastable since the energy in the chem. bond can pour into the van der Waals bond and cause its rupture. The fragments A-B (now relaxed) and C then fly apart. There are a variety of relaxation channels for this vibrational predissocn. process. If the intermol. forces of A-B and C are anisotropic then different intermol. potential surfaces result for each rotational state of the fragments. Where curve crossing between the surface of the initial state A-B^{*}...C and the surface of the rotationally excited fragments, A-B+C, occurs the vibrational predissocn. process becomes rapid. Curve crossing and its influence on vibrational predissocn. rates are discussed. Examples of vibrational predissocn. of C₂H₄...C₂H₄ and FH^{*}...FH are considered in detail.

C.A. 1982,

96, N/2

(1)
12

C₂H₄⁺...C₂H₄

$H + F_2$
reaktsii
romey.
Барен,
Киреев
активации,
концепт.

Lommelk 12940

1981

Eades R., Dunning T.H., Y.,
Dixon D.A.,
J. Chem. Phys., 1981, 75
(4), 2008 - 2010

$H_4F_5^-$

1981

Glidewell Ch.

re-equiped,
circular type., 85, N3-4, 365-371.
Re.

(rec. HF_2^- ; $\text{II}^{\hat{I}}$)

MgF_6^-

1981

Glidewell Ch.

Unpublished,
Glidewell Ch.,
1981,
85, N3-4, 365-371.
See.

(see HF_2^- ; III)

$H_2F_3^-$

1981

Glidewell Ch.

meop. pacem. THEOCHEM 1981,
Moscow.
See myknyr. L(3-4), 365-371.

(see. HF_2^- ; II)

$H_6 F_7^-$

1981

Glidewell Ch.

meop. pacifici
meosekys
elijaykliyp

THEOCHEM 1981,
2 (3-4), 365-371.

(see HF_2^- ; II)

$H_5F_6^-$

1981

Glidewell Ch.

meop. pacem

eeoeeeyu

euipykuyr

THEOCHEM 1981,

2 (3-4), 365 - 371

(see HF_2^- ; ii)

$H_3F_4^-$

1981

Glidewell Ch.

J. Col. Struct., 1981,

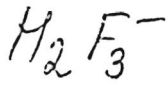
20 с. с.р.,
с. Кызылкайра,

85, N 3-4, 365-371.

Ze



(ес. MF_2^- ; III)



1981

Glidewell Ch., et al.

J. Mol. Struct., 1981,

20.000,
Рибнукова,
{e}

85, N 3-4, 365-371.

(еср. HF_2^- , III)

$H_3F_5^-$

1981

Gladewell Ch.,

meop. pacifici.
geo. exchy. et.
eeipyximur.

THEOCHEM 1981,
2(3-4), 365-371.

($ceu \cdot HF_2^-$; III)

$H_4F_5^-$

Lowmead 12198 | 1981.

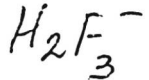
$H_5F_6^-$

Glidewell C.

$H_6F_7^-$

J. Mol. Struct., 1981,
85, 365-71

Monoclinic.
Copolymer,
KBr, 200x,
facer



[Lorraine 12198] 1981.

Received.
Computer,
ICB. Alex.
Please

Slidewell Co.

Y. Mol. Street.,
1981, 85, 365-71.

H₃F₄⁻

December 12 1981 | 1981

monetary.
computer.
Rob. Beck.
paper,

Glidewell C.

J. Mol. Street.,
1981, 85, 365-71.

FHF

1981

8-Д91. Модельные потенциалы для орбиталей протона в молекулах. Model potentials for protonic orbitals in molecules. Goodfriend P. L. «Ber. Bunsenges. phys. Chem.», 1981, 85, № 3, 242—245 (англ.)

Получены хартри-фоковские ур-ния для молекулы, дополнительно содержащей протон, отличающиеся от обычных наличием оператора притяжения протона к электрону. Для решения этих ур-ний предложен модельный потенциал вида $A \cdot \exp(-Kr)$, где r — координата протона и A и K — константы, значения которых приведены для HX , $\text{X}=\text{F}, \text{Cl}, \text{Br}$. С предложенным потенциалом исследовано электронное строение иона FHF⁻. Использован минимальный Слэтеровский базис с ф-цией для протона $Nr^{104} \exp(-60r)$. Равновесное межъядерное расстояние найдено равным 4,05 ат. ед. (эксперим. значение 4,29), энергия водородной связи 397 кдж/моль (243 ± 21). В такой системе протон занимает связывающую протонную МО. Высказано предположение о возможности существования разрыхляющей МО, в которой протонная плотность вытолкнута из области между тяжелыми ядрами. В. Л. Лебедев

Физика
Энергетика

Ф. 1981 N 8

H-F-H...F-F⁺

Lommel 12984 | 1981

структура,
стабильность,

ΔE

Pross A., Radom L.,

J. Am. Chem. Soc., 1981,
103, 6049-6053.

$[FH_2]^{n\pm}$ 1981

Takahata Y., et al.

Br. Acad. Brasil. ciênc.,

1981, 53, N 1, 101-107.

(geo-
economi)

• (act. $[BeH_2]^{n\pm}$; ii)

HF · Kolenkow.

1982

98: 169691k Microwave spectra and structures of several weakly bound hydrogen fluoride complexes: Baiocchi, Frank Alexander (Harvard Univ., Cambridge, MA USA). 1982. 148 pp. (Eng). Avail. Univ. Microfilms Int., Order No. DA8303409. From Diss. Abstr. Int. B 1983, 43(9), 2912.

1/8 cnekmj

C. A. 1983, 98, N20

$(HF_2)_2$

1982

6 Д153. Поверхность потенциальной энергии межмолекулярных взаимодействий для $(HF_2)_2$. An Intermolecular potential-energy surface for $(HF_2)_2$. Barton Andrew E., Howard Brian J. «Faraday Discuss. Chem. Soc.», 1982, № 73, 45—62. Discuss., 109—135 (англ.)

поверхность
потенциальной
энергии

Результаты исследования методом молекулярных пучков использованы для построения поверхности потенц. энергии (ППЭ) межмолекулярных взаимодействий в системе $(HF)_2$. При расчете спектроскопич. постоянных применялся метод разделения углового и радиального движений. В большинстве случаев рассчитанные величины находятся в хорошем согласии с экспериментом. Проанализированы ППЭ, полученные в неэмпирич. квантовохимич. расчетах. Близость значений силовых постоянных, вычисленных на основе данных разных авторов, свидетельствует о правильной передаче формы ППЭ вблизи минимума и вдоль пути туннелирования протонов. Отмечается значительная неопределенность в оценке глубины потенц. ямы.

В. И. Барановский

90. 1983, 18, N 6.

H-F., H-F Omnick 13534 / 1982

Oizenka,
greenpauw

Chalasinski G.,

Chem. Phys. lett.;
1982, 86, N2,
165 — 169.

$H_3F_4^-$

Dmuck 14227

1982

Harmon K. et al., Love-
Kuzkomeev-Lace R.R.,
неантипод.

UK preprint. J. Phys. Chem., 1982,
86, N6 900 - 903.

MgF_5^-

Dommuck 14227

1982

Harrison K. M., Lovelace
Kuzko-
meunne-
paevyprn.
Uk erkekts.
ee R. R.,
J. Phys. Chem., 1982,
86, N6, 900-903.

MgF_3^-

Омск 14227

1982

Harmon R. et al., Zope-
keuskommis-
neregisjurn.
UK erkeksp.

lace R.R.,

J. Phys. Chem., 1982,
86, N6, 900 - 903.

Галогениды
водорода

1982

5 Д477. Скорости переноса колебательной энергии в процессах с участием галогенидов водорода. Rate

coefficients for vibrational energy transfer involving the hydrogen halides. Leone Stephen R. «J. Phys. and Chem. Ref. Data», 1982, 11, № 3, 953—996 (англ.)

Систематизированы и представлены в виде таблицы литературные данные (за период с 1966 по июль 1981 г.) по скоростям переноса колебательной энергии в $V-V$ и $V-T$ -процессах с участием молекул галогенидов водорода HF, HCl, HBr, HJ, DF, DCI, DBr и DJ. Дан краткий анализ современного состояния исследований в рассматриваемой области.

А. В. Н.

90. 1983, 18, N5

Tanogobogor

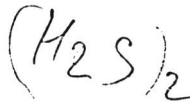
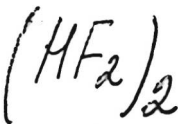
1982

March N.H., Mucci J. F.

γ_1, γ_2 ; J. Chem. Phys., 1982,
77, N9, 4555-4557.

(cet. Li X; III)

1982



Е, геометрия,
структура

18 Б81. Влияние прямых и непрямых обменных взаимодействий на геометрии и относительные стабильности димеров H_2O и H_2S в раскрытых, циклических и линейных конфигурациях. van Hensbergen Bagt, Block Rud, Jansen Laurens. Effect of direct and indirect exchange interactions on geometries and relative stabilities of H_2O and H_2S dimers in bifurcated, cyclic, and linear configurations. «J. Chem. Phys.», 1982, 76, № 6, 3161—3168 (англ.)

В рамках предложенного ранее метода для интерпретации водородного связывания в линейных димерах $(HF_2)_2$ и $(H_2O)_2$ (Boucher P., Block R., Jansen L., «Chem. Phys. Lett.», 1979, 65, 212) проведен анализ энергий взаимодействия молекул H_2O и H_2S в трех различных конфигурациях димеров: раскрытой (Р), циклич. (Ц) и линейной (Л). Проводится аналогия между непрямым обменом в парах парамагнитных ($3d$) катионов через диамагнитный анион в ионных тв. телах

x. 1982, 19, n 18. $(H_2O)_2$, $(H_2S)_2$

+2

и слабым связыванием (~ 1 ккал/моль) в молек. комплексах. Для описания димеров Р, Ц и Л применена обменная теория возмущения 1-го порядка. В энергию димеризации добавлялись энергия электростатич. взаимодействия или диполь-дипольного взаимодействия. Найдено, что для системы $(H_2O)_2$ конфигурация Л является более стабильной, что согласуется как с эксперим. данными, так и с результатами неэмпирич. расчетов в расширенных базисах, а стабильность конформаций падает в ряду: Л \pm Ц \pm Р. Для системы $(H_2S)_2$ в газовой фазе не имеется эксперим. данных. Модель предсказывает след. ряд конформаций димера $(H_2S)_2$: Ц $>$ Л $>$ Р. Для конфигурации Р этого димера найдено слабое отталкивание. Отмечается, что наиболее стабильная конформация этого димера очень чувствительна к изменению расстояния между двумя атомами серы.

И. Н. Сенченя

ans.

Галогенводороды

1983

8 Д140. Оценка перераспределения заряда и химических потенциалов галогеноводородов и смешанных галогенов на основе функциональной теории плотности. Density functional estimates of charge transfer and chemical potentials in hydrogen halides and mixed halides. Alonso J. A., March N. H. «Chem. Phys.», 1983, 76, № 1, 121—124 (англ.).

М.Л., 9:

Исследовано перераспределение заряда между атомами при образовании молекул галогеноводородов и смешанных галогенов. Для нахождения химич. потенциалов молекул использован вариац. принцип для суммарной энергии E в форме функционала от электронной плотности ρ . Получено простое выражение для величины перераспределения заряда Q в зависимости от значений электроотрицательностей и сродства к электрону атомов. Проведено сравнение с величинами Q , определенными из эксперим. данных для дипольных моментов и равновесных межъядерных расстояний в молекуле. Исследованы корреляция между химич. потенциалом молекулы и химич. потенциалами составляющих ее атомов.

А. П. Зуев

90. 1983, 18,
N 8

№ ④

бислан. галогены

HF... HF

1983

Buckingham A. D.,
Fowler P. W.

re, &
meop.
pacem. $\text{J. Chem. Phys. 1983,}$
 $\underline{79}(12), 6426-8.$

(c.u. $\text{H}_2\text{CO} \dots \text{HX; } \text{III}$)

HF...HF [Om. 1933] 1983

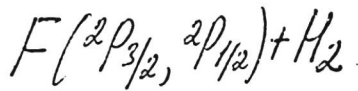
Müller H.,

meop.
polcrem
koumuk-
cob

J. Mol. Struct., 1983,
103, Suppl.: "Theochem",
N 12, 245-257.

[Om. 18025]

1983



Last I., Baer M.,
et al.,

Neopem-
pacrin

Chem. Phys. lett., 1983,
101, N2, 163-166.

FH_n

1983

Pople J. A., Frisch M. J., et al.

Int. J. Quantum Chem.: Quan-

pacriū

tum Chem. Symp., 1983, N14:

Proc. Int. Symp. Atom., clclot. ana-

Solid-State Theory, Collis. Phe-

nom., and Comput. Quantum

Chem., Flagler Beach, Fla, 3-12

March, 1983, 307 - 320.

(see LiH_n ; III)

Dam.

$\text{HF} \cdot \text{F}_2$
kationen-

[Om. 16946]

1983

Laposte A.,

J. Chem. Phys., 1983,
78, N9, 5733-5737.

$(HF)_n$

1984

18 Б1162. ИК-Фурье спектры $(HF)_n$ ассоциатов в твердом аргоне. Fourier-transform infrared spectra of $(HF)_n$ species in solid argon. Andrews L., Johnson G. L. «J. Phys. Chem.», 1984, 88, № 3, 425—432 (англ.)

В области 100—4000 см⁻¹ измерены ИК-Фурье спектры разб. смесей HF или DF с Ag при соотношениях Ag/HF=100/1, 200/1, 300/1, 400/1 и 600/1, конденс. при 12 К на пластинках CsJ. Нек-рые образцы нагревались до 21 и 24 К в течение 10 мин и повторно охлаждались до 12 К. Для смеси Ag/HF=300/1 спектры измерялись с интервалом 10 мин при 11, 16, 20, 24 и 28 К. В области 3600—4000 см⁻¹ наблюдалась интенсивные, узкие полосы HF вал. кол., между 3500 и 3100 см⁻¹ — более широкие. В интервале 1250—150 см⁻¹ выявлены полосы HF либрац. кол., интенсивность и форма к-рых зависела от конц-ии, времени выдерживания образца при заданной т-ре и от самой т-ры, что говорит о сту-

X. 1984, 19, N 18

ленической ассоциации. К вал. кол. HF в димере отнесены полосы 3896 и 3825 см^{-1} , в открытом тримере 3702 см^{-1} . Четыре группы полос в области $3100-3500\text{ см}^{-1}$ отнесены к колебаниям четырех циклических мультимеров $(HF)_n$ ($n=3, 4, 5, 6$). В спектрах deutериированных образцов наблюдалась полосы $(DF)_n$ мультимеров и смешанных $(HF)_x(DF)_y$ группировок. На основе данных о контролируемой диффузии рассмотрен механизм образования мультимеров и их структура.

Н. Л. Арюткина

HF...HF (OM-20180) 1984

Andrews L.,

UKCerekmp J. Phys. Chem., 1984,
88, N 14, 2940 - 49.

Om. 19741

1984

H...HF

Dunning T.H., Z.

Kwiatka,
akwiatz.
Kwiatka

J. Chem. Phys., 1984,
88, N 12, 2469-2477

XHY⁻

FHF⁻

X, Y = F, Cl, Br,

F, N,

Report
succinctly.

1984

101: 28600y Gas-phase bihalide and pseudobihalide ions. An ion cyclotron resonance determination of hydrogen bond energies in XHY⁻ species (X, Y = F, Cl, Br, CN). Larson, J. W.; McMahon, T. B. (Dep. Chem., Univ. New Brunswick, Fredericton, NB Can. E3B 6E2). *Inorg. Chem.* 1984, 23(14), 2029-33 (Eng). The bond energies were detd. in the homonuclear bihalide ions FHF⁻ and ClHCl⁻, the mixed-bihalide ion ClHF⁻, and the pseudobihalide ions FHCN⁻ and ClHCN⁻ from ion cyclotron resonance halide-exchange equil. measurements. A correlation between shift in frequency in H-bond motion relative to the free halogen acid and H-bond strength is proposed, which allows prediction of H-bond energies for the addnl. species FHBr⁻, FHI⁻, ClHBr⁻, and ClHI⁻. Empirical correlations of trends in H-bond energies also allow predictions to be made for BrHBr⁻, BrHCN⁻, and CNHCN⁻. Ab initio calcns. were used to det. that the shape of the potential energy well for proton motion in the bihalide ions is a single min. one.

(10) 18

C.A. 1984, 101, v4

H^+ , HF

1984

Latajka Zofia, Szeinier Steve.

redicemp., Chem. Phys. Lett.,
сейрыкм. 1984, 105, № 4, 435–
—439.

(сee. H^+ ; NH_3 ; III)

F., HF

1984

Түшгүк В. С.л., Сүр-
чеко А. Н.

Ресөсөс

Сүркүктүрбі. Ж. Сүркүктүр. № -
мннн, 1984, 25, N 4,
127 - 129.

(ев. Zi +, FH; II)

FeH_3^+

10m · 2d 492

1985

Del Bene J.E., Frisch M.J.;
Pople J.A.

meop.

racem

enantiomer

J. Phys. Chem., 1985,
89, N 17, 3669-3674.

$H_2 - HF$

1986

10 Д143. Теоретическое исследование строения, связи и сдвигов колебательных частот для комплекса $H_2 - HF$. Theoretical study of the structure, bonding, and vibrational frequency shifts for $H_2 - HF$ complex. Berglund David E., Liu Shi-yi, Dykstra Clifford E. «J. Chem. Phys.», 1986, 85, № 9, 5120—5127 (англ.) Место хранения ГПНТБ СССР

Неэмпирическим методом ССП МО ЛКАО в трехэкспонентном базисе сгруппированных гауссовых ф-ций с включением поляризационных и диффузных ф-ций и учетом корреляц. эффектов в модели самосогласованных электронных пар исследовано электронное строение комплекса $H_2 - HF$ (I). Предварительные расчеты входящих в комплекс систем обнаружили хорошее согласие с эксперим. данными. Показано, что фундаментальные колебат. частоты H_2 и HF должны сместиться на 20 и 15 см^{-1} в длинноволн. сторону. Колебательная

М.Н.

сф. 1987, 18, № 10

схема Лиу и Дикстра (см. Liu S., Dykstra C. E., «J. Phys. Chem.», 1986, 90, 3097) предсказывает сдвиги в 31 и 19 см⁻¹. Комплекс I обладает *T*-образной конфигурацией с расположением H₂ со стороны H молекулы HF и расстоянием между центрами масс 2,794 Å. Также приведены моменты переходов, константы квадрупольного взаимодействия, градиенты электрич. поля на ядрах.

В. Л. Лебедев

$H_2 \cdot HF$

1986

106: 56199w A theoretical study of the structure, bonding, and vibrational frequency shifts of the molecular hydrogen--hydrogen fluoride complex. Bernholdt, David E.; Liu, Shi Yi; Dykstra, Clifford E. (Dep. Chem., Univ. Illinois, Urbana, IL 61801 USA). *J. Chem. Phys.* 1986, 85(9), 5120-7 (Eng). The complex formed from HF and H₂ was investigated theor. in two ways. Large basis, well-correlated, ab-initio, electronic-structure calcns. were used to map out regions of the potential-energy surface, and an elec.-interaction model was used to find the classical intermol.-interaction effects. From the ab-initio potential surface, the fundamental-vibrational-transition frequencies of H₂ and HF were predicted to be red shifted by 20 and 15 cm⁻¹, resp. The theory of L. and D. (1986) for vibrational-frequency shifts, that uses the intermol.-elec. interaction, yielded shifts of 31 and 19 cm⁻¹, resp. The equil. structure of the mol. is T-shaped, a feature that is detd. by elec. interaction, and the well depth is around 300 cm⁻¹. A significant fraction of the well depth results from electron correlation effects.

c.A.1987, 106, n8

H₂-HF

[Oct. 26 194]

1986

meop.
pacem

Bernholdt D.E., Liu Shi-yi,
Dykstra C.E.,

J. Chem. Phys., 1986, 85, N9,

5120 - ● 5127

FH₂⁻ [Om. 23388]

1986

Premer D., Kraka E.,

monokrym-
empyktu-
ra,
ab initio
pracrem

g. Phys. Chem., 1986, 90,
N1, 33-40.

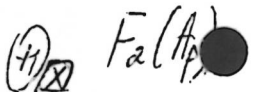
F_2H^+

Om. № 763

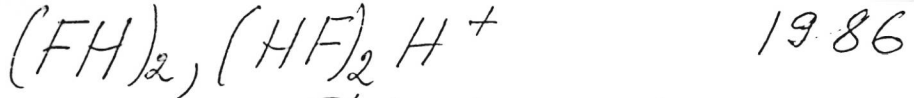
1986

105: 102939s Can F_2H^+ exist in the topological form FHF ?
DeKock, Roger L.; Dutler, Remo; Rauk, Arvi; Van Zee, Roger D.
(Dep. Chem., Calvin Coll., Grand Rapids, MI 49506 USA). *Inorg
Chem.* 1986, 25(18), 3329-30 (Eng). Ab initio calens. were
completed on FFH^+ and FHF^+ by using the 6-311G(*d,p*) basis set.
Geometry optimizations were carried out at the Hartree-Fock (HF),
2nd-, and 3rd-order Moeller-Plesset (MP) levels. Only 1 min. exists
on the potential energy surface and that corresponds to the
protonated C₂ structure of F_2 . The proton affinity of F_2 , including
zero point energy corrections, is calcd. to be 83.5 kcal/mol at the HF
level and 85.0 kcal/mol at the MP2 level.

см. ну кириллица,
смаджарбю сми,
мене по-русски

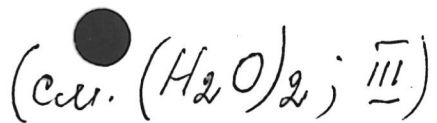


C.A. 1986, 105, N 12



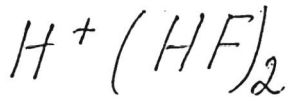
4 gp Frisch Michael J.,
Del Bene Genet E., et al.

et. al. J. Chem. Phys., 1986,
84, N.Y., 2279-2289.



(HF₂)H⁺ 1986
Frisch M. J., Del Bene J.E.,
Binkley J. S., et al.,
neopen-
paarem
mykn.
"u"
fizmetika γ . Chem . Phys . 1986,
84 (4), 2279-89.

C.A. 1986, 104, N 16, 1363522



1986

Hirooka Kenzo,
Takimoto Hajime,
et al.

Сиадисев-
коесев,
мсоп.
pacem.

J. Phys. Chem. 1986,
90 (22), 5910-14.

(See: $H^+(H_2)_2$; III)

1986

FHF⁻
FDF⁻

9 Л202. Лазерная диодная ИК-спектроскопия анионов FHF⁻ и FDF⁻. Infrared diode laser study of the hydrogen bifluoride anion: FHF⁻ and FDF⁻. Kawaguchi Kentaro, Hirota Eizi. «J. Chem. Phys.», 1986, 84, № 6, 2953—2960 (англ.)

С помощью диодного лазерного спектрометра получены спектры продуктов разряда смеси H₂(D₂) с CF₄, C₂F₄ и CHF₃ в полом катоде при эффективном оптическом слое 10 м. Модуляциеймагн. поля выделены линии ионов FHF⁻ и FDF⁻, знак ионов установлен из опытов в переменном электрич. поле. Наблюденные линии образуют полосу типа $\Sigma - \Sigma$. С точностью 10⁻³ см⁻¹ измерены частоты линий. При анализе спектра обнаружено возмущение верхнего состояния кориолисовыми взаимодействиями с состоянием типа П. Изученная полоса отнесена к колебанию ν_3 , возмущающее состояние связано с колебанием $\nu_1 + \nu_2$. Определены частоты этих колебаний, вращательные постоянные и константы колебательновращательных взаимодействий. Проанализиро-

(м.п.)

87 (1)

ф. 1986, 18, № 9

вады реакции, ведущие к образованию ионов. Библ. 61.
М. В. Т.



FHF⁻

FDF⁻

ab initio
pacem,
lk enkmp
?.

1986

105: 234787a The infrared spectrum of the hydrogen bisfluoride anion: unprecedented variation with level of theory. Janssen, Curtis L.; Allen, Wesley D.; Schaefer, Henry F., III; Bowman, Joel M. (Dep. Chem., Univ. California, Berkeley, CA 94720 USA). *Chem. Phys. Lett.* 1986, 131(4-5), 352-8 (Eng). High-quality ab initio theor. methods were employed to reinvestigate the IR spectra of the FHF⁻ and FDF⁻ mol. anions in light of the recent exptl. $\nu_3(\sigma_u^+)$ assignments of K. Kawaguchi and E. Hirota (1986). SCF, CISD, and Davidson-cor. CISD (CIDVD) results were obtained for 7 basis sets ranging in quality from double-zeta plus polarization (DZP) to triple-zeta plus triple polarization plus diffuse augmented by H d functions (TZ3P + R + d). Fundamental frequencies were detd. using variational techniques and complete quartic force fields. As the level of theory is increased, unprecedented variations in $\nu_3(\sigma_u^+)$ were obsd. At the TZ3P + R + d CIDVD level, $\nu_1(\sigma_g^+) = 617$, $\nu_2(\pi_u) = 1363$, and $\nu_3(\sigma_u^+) = 1427 \text{ cm}^{-1}$ are predicted for FHF⁻ and $\nu_1(\sigma_g^+) = 620$, $\nu_2(\pi_u) = 974$, and $\nu_3(\sigma_u^+) = 983 \text{ cm}^{-1}$ for FDF⁻. These theor. ν_3 values are in significant disagreement with the 1848 cm^{-1} (FHF⁻) and 1397 cm^{-1} (FDF⁻) exptl. ν_3 assignments.

C.A. 1986, 105, N 26

$(HF)_n$

$n=3, 4$

$\vartheta_0, \Delta H_f$

1986

20 Б1092. Стабильности тримера и тетрамера фтористого водорода. The stabilities of the hydrogen fluoride trimer and tetramer. Liu Shi-Yi, Michael Daniel W., Dykstra Clifford E., Lisy James M. «J. Chem. Phys.», 1986, 84, № 9, 5032—5036 (англ.). Место хранения ГПНТБ СССР

Для оценки стабильности малых кластеров из молекул HF неэмпирич. методом с использованием трехэкспонентного базисного набора, дополненного поляризационными, с учетом и без учета эффектов электронной корреляции проведены расчеты стабильности и геометрич. параметров циклич. тримера и тетрамера HF. Найдено, что энергия, необходимая для их диссоциации составляет 4,6 ккал/моль для димера HF (данные для димера приведены в пред. работе — Michael D. W., Dykstra C. E., Lisy J. M. «J. Chem. Phys.», 1984, 81, 5998), 14 ккал/моль для тримера и 25,5 ккал/моль для тетрамера HF. Показано, что с учетом нулевых колебаний

Х. 1986, 19, № 20

баний однофотонного колебат. возбуждения достаточно для распада тримера на 2 молекулы HF, что находится в согласии с эксперим. данными. Вклад эффектов электронной корреляции в стабилизацию тримера составляет 1 ккал (для димера эта величина равна 0,5 ккал). Энергия H-связей в расчете на 1 H-связь для тетрамера больше, чем для тримера.

И. Н. Сенченя

$AH_h \cdot AH_{h+1}^{+1}$

1987

$AH_h = \underline{FH}$

Del Bene, Janet Z.

teop.
pacr.

J. Comput. Chem. 1987
8(6), 810-15.

(ccce. NH_3 ; II)

HF... HF

(OM. 27608)

1987

20 nmpm,
Rep. of
Cuba,
romers.
P-ue.

Ronda L., Kitaura L.,

Chem. Phys. lett.,

1987, 140, N 1, 53-56.

H₂ · HF

ОМ-26699

1987

№ 20 Б1207. Инфракрасные спектры очень слабых комплексов $\text{H}_2\text{-HF}$ и $\text{O}_2\text{-HF}$ в твердом неоне. Infra-red spectra of the very weak $\text{H}_2\text{-HF}$ and $\text{O}_2\text{-HF}$ complexes in solid neon. Hunt R. D., Andrews L. «J. Chem. Phys.», 1987, 86, № 7, 3781—3786 (англ.)

На ИК-фурье-спектрометре в области частот 400—4000 cm^{-1} с разрешением 1 cm^{-1} измерены спектры поглощения комплексов H_2+HF , H_2+DF , HD+HF , HD+DF , D_2+HF , D_2+DF и $^{16}\text{O}_2+\text{HF}$, $^{16}\text{O}_2+\text{DF}$, $^{16}\text{O}^{18}\text{O}+\text{HF}$, $^{16}\text{O}^{18}\text{O}+\text{DF}$, $^{18}\text{O}_2+\text{HF}$, $^{18}\text{O}_2+\text{DF}$ в твердом неоне при т-ре 5 К. В ИК-спектрах комплексов найден частотный сдвиг в низкочастотную область спектра интенсивных полос вал. кол. $\text{H}-\text{F}$ на 15—16 cm^{-1} по сравнению с HF в твердом неоне. Аналогичные низкочастотные сдвиги наблюдались для слабых основных полос H_2 в комплексах. Однако, в случае O_2 имел место высокочастотный сдвиг на $\sim 6 \text{ cm}^{-1}$. Эксперим. данные хорошо согласуются с результатами неэмпирич. расчетов MO (Bernholdt D. E. et al., «J. Chem. Phys.», 1986, 85, 5120). Обнаружены также комплексы состава 1 : 2 $\text{H}_2\cdot(\text{HF})_2$ и $\text{O}_2\cdot(\text{HF})_2$.

С. Н. Мурзин

(9)

X.1987, 19, № 20

H_2 ... HF

07.26699 1987

9 Л215. ИК-спектры очень слабых комплексов $H_2\ldots HF$ и $O_2\ldots HF$ в твердом неоне. Infrared spectra of the very weak $H_2\cdots HF$ and $O_2\cdots HF$ complexes in solid neon. Hunt Rodney D., Andrews Lester. «J. Chem. Phys.», 1987, 86, № 7, 3781—3786 (англ.)

Получены ИК-спектры ($4200\text{--}3700\text{ см}^{-1}$) комплексов (К) с водородной связью между молекулами H_2 , O_2 и HF, изолированных в твердой неоновой матрице при т-ре 4—5 К. Установлено низкочастотное смещение ИК-полос колебаний изолированных молекул HF и H_2 при образовании К. Отмечена малая прочность водородных связей в изученных К. Показано, что при увеличении конц-ии HF в матрице возможно образование К состава 1:2, $H_2\cdots(HF)_2$. Сопоставлены ИК-спектры протонированных и дейтерированных К, а также аналогичных К в Аг-матрицах. Сделан вывод о влиянии матрицы аргона на преимущественное образование К типа $H_2\cdots HF$ или $O_2\cdots HF$. Библ. 29.

И. В. А.

(71)

сф. 1987, 18, № 9

Hat₃⁻ (OM-29011) 1987

Hunt R.D., Andrews L.,

checkmp
6

stampage

J. Chem. Phys., 1987,
87, N12, 6819-6823,

$H_2 - HF$

Он 28 870

1987

15 Б1317. Инфракрасная штарковская спектроскопия бинарного комплекса водород—HF. Infrared stark spectroscopy of the hydrogen—HF binary complex. Jucks K. W., Miller R. E. «J. Chem. Phys.», 1987, 87, № 10, 5629—5633 (англ.)

Методом лазерной спектроскопии высокого разрешения под допплеровским контуром в обл. частот вблизи 4000 см^{-1} с разрешением около 6 МГц измерено четыре перехода, соотв. дублетам К-типа с $I=1$ Q- и R-ветвей HF — вал. кол. комплекса $H_2 - HF$. Отнесение измеренных переходов выполнено с учетом ИК-данных (Lovejoy C. M. et al., «J. Chem. Phys.», 1987, 87, 5621). Из анализа контура линии 9R_1 (I) определено время жизни возбужденного состояния комплекса 27 нс. По эффекту Штарка методом ИК-штарковской спектроскопии измерены дипольные моменты комплекса в основном и возбужденном колебат. состояниях, соотв., $\mu_0 = 1,428(15)D$ и $\mu_1 = 1,512(15)D$. Полученные результаты интерпретированы с учетом изгибных колебаний большой амплитуды фрагмента HF. С. Н. Мурзин

М.Н.

X. 1988, 19, N 15

$H_2 - HF$

0728870

1987

Э 6 Л204. Штарковская ИК-спектроскопия комплекса водород-HF. Infrared Stark spectroscopy of the hydrogen-HF binary complex. Jucks K. W., Miller R. E. «J. Chem. Phys.», 1987, 87, № 10, 5629—5633 (англ.)

Исследован штарковский ИК-спектр бинарного комплекса $H_2 - HF$ в молекулярном пучке в области полосы основного тона колебаний HF. В спектре зарегистрированы 4 линии. С привлечением литературных данных о вращательных постоянных исследованного комплекса, зарегистрированные линии интерпретированы как дублеты K -типа переходов $Q(1)$ и $R(1)$. На основе анализа полученных результатов сделан вывод о большой амплитуде деформационных колебаний фрагмента HF в составе комплекса. При аппроксимации зарегистрированного контура линий контуром Фойхгта по найденной ширине лоренцевской составляющей определено время жизни комплекса в возбужденном колебательном состоянии, равное 27 нс. Библ. 31.

Н. Н. Ф.

Ф 1988, 18, № 6

H₂HF

Om 28919

1987

107: 245591z Hindered internal rotation in jet-cooled H₂HF hydrogen-hydrogen fluoride (H₂HF) complexes. Christopher M.; Nelson, David D., Jr.; Nesbitt, David J. Lab. Astrophys., Univ. Colorado, Boulder, CO 80309-0440 USA. *J. Chem. Phys.* 1987, 87(10), 5621-8 (Eng). The vibration spectrum of the HF stretch mode in ortho-H₂HF complexes obtained via IR laser direct absorption detection in a slit jet expansion. The spectrum resembles a $K_a = 1 \leftarrow 1$ para of a prolate near-sym. top and can be reasonably well fit by Watson A-type Hamiltonian; however, no rigid mol. structure reproduce the obsd. K_a splittings without invoking unphys. changes in the constituent bond lengths upon complexation. splittings are more correctly analyzed in terms of a $j = 1$ hindered rotor in an anisotropic potential, with a min. energy T-geometry. Matrix calcns. det. barriers to H₂ rotation between 100 and 170 cm⁻¹ that depend systematically both on vibrational rotational state in the complex. These data are consistent with strong increase in potential anisotropy with decreasing intersep., with both upper and lower vibrational states close to dissocn. limit. No evidence for a corresponding $\Sigma \leftarrow \Sigma$ para-HF spectrum was obsd. The matrix calcns. indicate that the ground state of para-H₂HF is less stabilized by the potential anisotropy than the ground II state in ortho-H₂HF, and may therefore be more efficiently formed in the jet expansion.

c.A.1987, 107,
N26

H_2HF

On 22919 1987

№ 15 Б1344. Заторможенное внутреннее вращение охлажденных в струе комплексов H_2HF . Hindered internal rotation in jet cooled H_2HF complexes. Lovejoy C. M., Nelson D. D., Jr., Nesbitt D. J. «J. Chem. Phys.», 1987, 87, № 10, 5621—5628 (англ.)

На автоматизированном лазерном спектрометре с использованием разностной частоты и импульсной молек. струи измерен в обл. частот 3946—3963 см^{-1} с точностью 0,0005 см^{-1} колебательно-вращат. спектр поглощения Q-ветви полосы HF-вал. кол. $v_2=1-0$ комплекс орто- H_2HF . Анализ спектра выполнен в приближении модели вытянутого почти симм. волчка с использованием гамильтонiana Уотсона в A-редукции с учетом квартичного центробежного искажения и заторможенного внутреннего вращения фрагмент H_2 . Для основного и возбужденного колебат. состояний, соотв., определены вращат. постоянные $B=0,8704(4)$ и $0,8829(4)$, $C=0,7945(4)$ и $0,8187(4)$ (в см^{-1}) и частота колебат. перехода с вкладом вращат. постоянных $v_2+A'-A''=3950,1282(18) \text{ см}^{-1}$. Оценена величина барьера внутреннего вращения 120—170 см^{-1} . Для комплекса пара-

$H\cdot H\cdot$

X. 1988, 19, N 15

H_2HF предсказана более слабая связь, что согласуется с отсутствием ИК-спектра этого образца в эксперименте. Более сильная связь возможна для комплекса орто- D_2HF .

С. Н. Мурзин

стр
al

$H_2 - HF$

DM 289/9

1987

6 Л208. Заторможенное внутреннее вращение в комплексах H_2-HF в сверхзвуковой струе. Hindered internal rotation in jet cooled H_2HF complexes. Lovejoy Christopher M., Nelson David D., Jr., Nesbitt David J. «J. Chem. Phys.», 1987, 87, № 10, 5621—5628 (англ.)

С помощью лазерного спектрометра с разрешением не хуже $0,002 \text{ см}^{-1}$ получен ИК-спектр комплекса H_2-HF в импульсной сверхзвуковой струе в спектральной области $3940-3965 \text{ см}^{-1}$. Зарегистрированы 32 линии полосы $v_2=1\leftarrow 0, K_a=1\leftarrow 1$ комплекса, их частоты приведены в таблице. Из анализа J -зависимости K -расщепления линий сделан вывод о наличии заторможенного внутреннего вращения H_2 в составе комплекса. Оценена величина барьера для внутреннего вращения, равная $120-170 \text{ см}^{-1}$. По значениям найденных частот линий рассчитаны постоянные гамильтонiana Ватсона A -типа для исследованного комплекса. Библ. 37.

Н. Н. Ф.

Ф. 1988, 18, № 6

FH_n

[om. 27559]

1987

Pople John A.,
Cerfiss Larry A.

ab initio
pacrén,
y

J. Phys. Chem. 1987,
91 (13), 3637-9.

(cer. CH_n; \bar{m})

FH_5^{2+}

1987

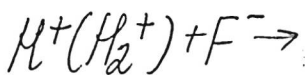
Reed Flan E., Schleyer
Pave von Rague.

er. n.

Chem. Phys. Lett., 1987,
133, N 6, 553-561.

(Ccl. $\bullet \text{SiH}_5^-$; $\overline{\text{II}}$)

1987



20 Б4474. Ультрафиолетовая хемилюминесценция HF ($B^1\Sigma \rightarrow X^1\Sigma$) в ион-ионных реакциях $\text{H}^+(\text{H}_2^+) + \text{F}^-$. HF ($B^1\Sigma \rightarrow X^1\Sigma$) UV chemiluminescence from the $\text{H}^+/\text{H}_2^+ + \text{F}^-$ ion-ion reactions. Wang Hui-g-tai. «Chem. Phys. Lett.», 1987, 136, № 6, 487—494 (англ.)

В области 185—270 нм зарегистрирован спектр хемилюминесценции ион-ионной р-ции $\text{H}^+(\text{H}_2^+) + \text{F}^- \rightarrow \text{HF}$ ($B^1\Sigma$), вращательно-колебат. полосы к-рого приписаны переходам $\text{HF}(B^1\Sigma, v', J') \rightarrow \text{HF}(X^1\Sigma, v'', J'')$ с $0 \leq v' < 4$ и $12 < v'' \leq 16$. Р-цию проводили в быстром проточном реакторе при скорости газового потока ~ 80 м/с и полном давл. в зоне р-ции $\sim 0,8$ Торр. Ионы F^- и $\text{H}^+(\text{H}_2^+)$ генерировали раздельно. Ионы F^- получали по р-ции $\text{F}_2 + e \rightarrow \text{F}^- + \text{F}$ при введении F_2 в зону послесвечения СВЧ-разряда в Не. Ионы $\text{H}^+(\text{H}_2^+)$ при соотношении $\text{H}^+/\text{H}_2^+ < 0,1$ получали в процессе пенинговской ионизации при введении H_2 в зону послесвечения другого СВЧ-разряда в Не. Вращат. ветви колебат. переходов имеют максимумы при больших значениях вращат. квант. числа J . Такие нетермич. распределения показывают, что регистрируемые распределения HF по v' и J' соответствуют перв. продуктам ион-ионных реакций.

спектр
хемилюминес-
ценции

Х. 1987, 19, N 20

(MF)р

(DM·d7893)

1987

Буласин А. А.,

Структура,
Дисс.
ном.
(обзор)

Ж. структур. химии,
1987, № 5, 120-147.

$H_2 \cdot HF$

1988

Andrews Lester.

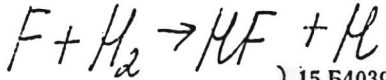
UK 8

J. Mol. Struct. 1988,

Macmillan
purple

173, 103-10.

(c.c. $NH_2 CN \cdot HF$; $\bar{1}\bar{1}\bar{1}$)



1988

) 15 Б4039. Потенциальные энергии для реакции $F + H_2 \rightarrow HF + H$, по методу случайного блуждания. Potential energies for the reaction $F + H_2 \rightarrow HF + H$ by the random walk method / Garner D. R., Anderson J. B. // J. Chem. Phys.— 1988.— 89, № 5.— С. 3050—3056.— Англ.

Метод численного решения ур-ния Шредингера с использованием алгоритма случайного блуждания применен для расчетов точек на потенциальной Пв системы $F + H_2 \rightarrow HF + H$. В кач-ве пробной ф-ции для локализации узлов взята ф-ция ограниченного приближения Хартри—Фока—Рутана. Найденные на Пв точки аппроксимированы модифицированной ф-цией Лондона—Эйринга—Поляны—Сато. Результаты сопоставлены с данными вариац. расчетов достаточно высокого уровня точности, а также с эксперим. оценками. В частности, для энергии р-ции получена величина $29,0 \pm 1,4$ ккал/моль, что сравнимо с эксперим. результатом $31,5 \pm 0,2$. Основное

SH, №

X. 1989, N 15

внимание уделено вычислениям потенциального барьера на пути р-ции. Итоговая величина $4,5 \pm 0,6$ ккал/моль попадает в границы, характерные для современных вариац. расчетов с учетом корреляц. эффектов (от 1,66 до 6,03), однако, отмечаются существенные расхождения с оценками на основе эксперим. результатов 1,7 ккал/моль

А. В. Немухин

метод
ие

F(HF)₂ (OM 29843) 1988

Hunt R.D., Andrews L.,

(ρ_{HF}) J. Phys. Chem., 1988,
92, 3769-3774.

HF₃

1988

У 1 Б1168. Крутильные колебания в (HF)₃: спектры двойного ИК—ИК резонанса и теория электрических взаимодействий. Torsional vibrational modes of (HF)₃: IR—IR double resonance spectroscopy and electrical interaction theory / Kolenbrander K.-D., Dykstra C. E., Lisy J. M. // J. Chem. Phys.—1988.—88, № 10.—C. 5995—6012.—Англ.

Выполнены совместные теор. и эксперим. исследования плоскостных и неплоскостных крут. кол. тримера (HF₃). Экспериментально изучены колебат. переходы в обл. 10,6 мкм. Отнесение переходов выполнено на основе теор. анализа потенциальной Пв, построенной с учетом разложения по эл. моментам и с учетом эффектов поляризации. Отнесение подтверждено анализом изотопных отношений и расчетом интенсивностей переходов.

Б. И. Жилинский

X. 1989, N 1

H_2 HF

1988

Lovejoy Ch. M., Nelson
D. D. et al.

J. Chem. Phys. 1988.

89, N₁₂, C. 7180-7188.

(\bullet D_2 HF; III)

M.N.

FH_n

1988

Pople John A., Schleyer
Paul von Ragué, et al.

He;

Chem. Phys. Lett., 1988,
145, N 5, 359-364.

(C₆₀, LiH_n; II)

FH_n

1989

Martin J. M. L.,
Francois J. P. et al.

De Geer. J. Comput. Chem.
1989, 10(2), 152-62.

(see: LiH_n, II)

$(HF)_n$

1989

112: 84666u Variation of the second hyperpolarizability of hydrogen fluoride polymer induced by changes in the structure: a comparative study. Papdopoulos, M. G.; Waite, J. (Natl. Hell. Res. Found., Athens, Greece 116 35). *J. Chem. Soc., Faraday Trans.* 2 1989, 85(12), 1885-91 (Eng). The second hyperpolarizability, γ , of $(HF)_n$, where $n = 6,8$, and the interaction hyperpolarizability, $\Delta\gamma$, of $(HF)_2$ are computed by employing ab initio and semiempirical techniques. The results demonstrate the cooperative character of the intermol. interactions between the H-bonded hydrogen fluoride mols. and their considerable effect on the second hyperpolarizability. The results also show that remarkable variations in $\Delta\gamma$ and γ may be induced by a change in the shape of the HF cluster.

unpublished
JAN 2001, PAC
2001.

C.A.1990, 112, N10

HF...HF 76 Б1274. On 34622 1990

Туннельно-вращательный спектр димера фтористого водорода. Tunneling-rotation spectrum of the hydrogen fluoride dimer / Belov S. P., Кагуакин Е. Н., Козин И. Н., Кирпов А. Ф., Polyansky O. L., Tretyakov M. Yu., Zobov N. F., Suenram R. D., Lafferty W. J. // J. Mol. Spectrosc.— 1990.— 141, № 2.— С. 204—222.— Англ.

На субмиллиметровом (СММ) спектрометре РАД-3 в области частот 180—380 ГГц с точностью 4 МГц и на штарковском микроволновом (МВ) спектрометре в области частот 60—125 ГГц с точностью 1 МГц измерен туннельно-вращат. спектр димера фтористого водорода, HF...HF. Анализ СММ- и МВ-спектров выполнен с учетом ИК-данных, квартичного и секстичного центробежного искажения. Туннельные частоты для состояний $K=0, 1, 2$ и 3 , соотв., равны 19747,032(24), 31911,041(10), 60073,48(21) и 114306,35(53) МГц. Отмечены аномалии в поведении вращат. постоянных в различных состояниях. Приготовлен атлас МВ- и ДИК-спектров с указанием частот и интенсивностей переходов.

С. Н. Мурзин

Х. 1991, № 6

1990

17 Б1147. Расчет вандерваальсовых спектров молекул H_2HF , D_2HF и H_2DF . Calculation of van der Waals spectra for H_2HF , D_2HF , and H_2DF / Clary D. C., Knowles P. J. // J. Chem. Phys.— 1990.— 93, № 9.— С. 6334— 6349.— Англ.

Неэмпирически рассчитаны колебательно-вращат. спектры слабо связанных вандерваальсовых комплексов H_2HF , D_2HF и H_2DF . Энергии вз-вия подсистем рассчитаны в приближении замороженных валентных связей методом СЕРА-1 с использованием расширенного базиса, содержащего d и f орбитали на атоме F с экспонентами, оптимизирующими дипольный и квадрупольный моменты молекулы NF . Колебательно-вращат. часть задачи решалась вариац. методом в базисе ф-ций $\Phi_k(R)\Phi_n(\Omega)$, где ф-ции $\Phi_k(R)$ и $\Phi_n(\Omega)$ суть решения ур-ний метода ССП, R — расстояние между центрами масс двухатомных фрагментов, а три угловых переменных Ω задают их взаимную ориентацию. Результаты использованы для обсуждения относит. устойчивости изучаемых комплексов. Предсказано существование достаточно интенсивных полос в области $20—30\text{ см}^{-1}$. В целом рассчитанные спектры хорошо согласуются с экспериментальными. Библ. 54. В. Б. Павлов-Веревкин

расчет
вандерваальс.
спектр

Δ

{ (7)

x. 1991, N 17

H_2HF

1990

114: L4322r Calculation of van der Waals spectra for the molecular hydrogen-hydrogen fluoride, molecular deuterium-hydrogen fluoride, and molecular hydrogen-deuterium fluoride complexes (H_2HF , D_2HF , and H_2DF). Clary, D. C.; Knowles, P. J. (Dep. Chem., Univ. Cambridge, Cambridge, UK CB2 1EW). *J. Chem. Phys.* 1990, 93(9), 6334-49 (Eng). Calcns. of spectra for the excitation of the van der Waals modes in the weakly bound complexes H_2HF , D_2HF , and H_2DF are reported. An ab initio potential energy surface was computed using the coupled electron pair approxn. with a large basis set. The rovibrational bound states for the complexes are calcd. using a variational method. A SCF approach is used to optimize the basis sets for bending and stretching motion in the van der Waals complex. The calcd. spectra compare very well with those measured in near-IR expts. The computations provide a systematic anal. of the relative stability and rigidity of the different complexes, the very large zero-point energy effects, and the unusual nature of the rovibrational wave functions in these van der Waals mols. The predicted spectra contain some new bands with surprisingly large intensities that might be detectable in expts.

PACEM
CNEKMPR
U
GRABERELLE
C HKCREM

c.A. 1991, 114, N2 (4) 18

D_2HF , H_2DF

$(HF)_n$ Om. 35791 1990

Dykstra C.E.,

J. Phys. Chem. 1990,
94, 180 - 185.

Intermolecular Vibrational
Frequencies of $(HF)_n$

and $(HCN)_n$ Weak Complexes
by Electrical Molecular
Mechanics.

(HF)₂

1992

16 Б1124. Длинноволновые инфракрасные спектры (HF)₂ и (HF)₃ в твердом аргоне. Far infrared spectra of (HF)₂ and (HF)₃ in solid argon /Andrews L., Davis S. R., Hunt R. D. //Mol. Phys. — 1992 .— 77 ,№ 5 .— С. 993—1003 .— Англ.

На фурье-спектрометре измерены ИК-спектры димеров и тримеров HF, изолированных в матрицах Ar и Ne при т-рах 11, 7 и 5 К. Основное внимание уделено отнесению полос в длинноволновой области, где обнаружены слабые полосы колебаний межмолек. H-связей. Проведены эксперименты по H→D-замещению. Малые изотопич. сдвиги полос низкочастотных кол. подтверждают их отнесение к вал. кол. H-связей. К вал. кол. H-связи димера (HF)₂ отнесена полоса при 128 см⁻¹ (матрица Ar), что согласуется с рассчитанной неэмпирич. квантово-хим. методом и с вычисленной исходя из возмущения нек-рых полос в ИК-спектре газ. HF. Полоса смещается до 124 см⁻¹ в спектре (DF)₂. К антисимм. вал. кол. H-связей тримера (HF)₃ отнесена уз-

ИК спектр



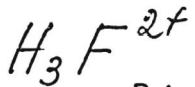
④ (HF)₃

X, 1993, N16

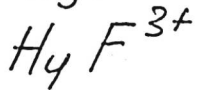
кая полоса при $152,5 \text{ см}^{-1}$, она смещена в высокочастотную область до $155,5 \text{ см}^{-1}$ в спектре (DF_3) , что свидетельствует об усилении Н-связи при дейтерировании. Слабая полоса при 195 см^{-1} предположительно отнесена к колебаниям Н-связей тетрамера $(\text{HF})_4$ в тв. Ar.

И. А. Гарбузова

И.
-рых
чен



1992



Boldyrev A.I.,
Simons J.

J. Chem. Phys. 1992. 97,

M.N.

N.C. 4272-4281.

(see  H_4O^{2+} , iii)

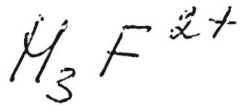
1992

(HF)₃

116: 159308s Concerted hydrogen atom exchange between three hydrogen fluoride molecules. Komornicki, Andrew; Dixon, David A.; Taylor, Peter R. (Polyat. Res. Inst., Mountain View, CA 94043 USA). *J. Chem. Phys.* 1992, 96(4), 2920-5 (Eng). The termol. reaction is studied involving concerted H exchange between three HF mols., with particular emphasis on the effects of correlation at the various stationary points along the reaction. Using an extended basis, the geometries are located of the stable hydrogen-bonded trimer, which is of C_{3h} symmetry, and the transition state for H exchange, which is of D_{3h} symmetry. The energetics of the exchange reaction were then evaluated at the correlated level, using a large at. natural orbital basis and correlating all valence electrons. Several correlation treatments were used, namely, CI with single and double excitations, coupled-pair functional, and coupled-cluster methods. The authors thus were above to measure the effect of accounting for size-extensivity. Zero-point corrections to the correlated level energetics were detd. using analytic second deriv. techniques at the SCF level. The best calcns., which include the effects of connected triple excitations in the coupled-cluster procedure, indicate that the trimer is bound by 9 ± 1 kcal/mol relative to three sepd. monomers in excellent agreement with previous ests. The barrier to concerted hydrogen exchange is 15 kcal/mol above the trimer, or only 4.7 kcal/mol above three sepd. monomers. Thus the barrier to hydrogen exchange between HF mols. via this termol. process is very low.

(neop-pacis)

C.A. 1992, 116
N 16



1992

Boldyrev A. I.,
Sirones Jack.

Cerveyam, J. Chem. Phys.

1992, 97(6), 4272-81.

MEOP. PEREM

( H_4O^{2+} ; III)



1992

Ischtwan Josef,
Smith B. J. et al.

котенц.
поверх.,
ab initio
pacrem.

J. Chem. Phys. 1992,
97 (2), 1191-210.

(c.u. $[HeH_2]^+ ; \underline{\text{III}}$)

H₂HF

1992

У 11 Б1015. Зависящий от времени расчет колебательной предиссоциации H₂HF. A time-dependent calculation for vibrational predissociation of H₂HF /Zhang Dong H., Zhang John Z. H., Bacić Zlatko //J. Chem. Phys. .—1992 .—97 , № 5 .—С. 3149 — 3156 .—Англ.

Зависящий от времени квантовый метод, основанный на приближении золотого правила Ферми, использован для расчета динамики распада комплексов параводорода и ортовородора с молекулой HF в первом возбужденном колебат. состоянии. Для комплексов с нулевым полным угловым моментом определены энергии связанных и метастабильных состояний, предиссоциац. времена жизни и вращат. распределения продуктов H₂ и HF. Рассчитанное время жизни (1600 нс) на полтора порядка превышает эксперим. оценку (27 нс), хотя предыдущие расчеты распада комплекса D₂HF тем же методом с той же потенциальной поверхностью хорошо согласуются с данными измерений.

А. А. Бучаченко

X. 1994, N 11

(HF)₂₊₄

1993

120: 87145u Structures of some hydrogen-bonded molecular clusters from ab initio hard-spheres electrostatics. Panas, I.M. (Department of Inorganic Chemistry, University of Goeteborg and Chalmers University of Technology, S-412 96 Goeteborg, Swed.). *Chem. Phys. Lett.* 1993, 216(1-2), 173-9 (Eng). An intermol geometry optimization technique is outlined. The approach is based on the evaluation of an anal. Hessian for interacting multipole expanded mol. charge distributions. This technique is applied to structures of ·(HF)₂₋₄, (H₂O)₂ and (HCN)₂₋₄. Monomer charge distributions are obtained from SCF calcns. and binding energies are estd. by employing the virial theorem.

Chrysanthemum
MOP brown

☒ A₂

(H₂O)₂, (HCN)₂₊₄



C.A. 1994, 120, N8

1995

(HF)_n

n = 4 + 8

Di, Meyer
CMAF unit

123: 324759u Vibrational frequency shifts and thermodynamic stabilities of (HF)_n isomers (n = 4-8). Huisken, Friedrich; Tarakanova, Elena G.; Vigasin, Andrei A.; Yukhnevich, Georgy V. (Max-Planck-Institut fuer Stroemungsforschung, Bunsenstrasse 10, D-37073 Gottingen, Germany). *Chem. Phys. Lett.* 1995, 245(4,5), 319-25 (Eng). Based on the spectroscopic data available for the HF dimer and trimer and taking into account the cooperativity effect, the force fields of larger (HF)_n clusters (n = 4-8) were detd. for various isomeric structures and used to calc. the frequency shifts for the stretching vibrations. The comparison with recent exptl. results, obtained with size selection, suggests that tailed ring structures (i.e. sym. rings with addnl. HF units attached to them) might play an important role in the cluster distribution in expansion-cooled mol. beams. Thermodn. calcns. show that tailed ring structures have comparably high stabilities.

□ ④ (HF)_n
n = 4 + 8

(meyer & cmaf unit)

C.A. 1995, 123, N 24.

ArF₃

1995

123: 125697x Potential surfaces and dynamics of weakly bound trimers: perspectives from high resolution IR spectroscopy. Suhm, Martin A.; Nesbitt, David J. (Laboratorium Physikalische Chemie ETH Zuerich, CH-8092 Zurich, Switz.). *Chem. Soc. Rev.* 1995, 24(1), 45-54 (Eng). The title topic is reviewed with 45 refs. Attention is focussed on the homologous series of trimers composed of Ar and HF: HF₃, Ar(HF)₂, Ar₂HF, and Ar₃. The topics include: intermol. interactions, IR spectrometry, connecting potentials with spectra, (HF)₃ and (DF)₃ - not so weakly bound trimers, Ar(HF)₂ - lack of exptl. evidence, pairwise and non-additive effects in Ar₂HF, Ar₃ - does it have an IR spectrum, and towards bulk properties.

(for review)

Ar(HF)₂, Ar₂HF, Ar₃

⑦



C.A. 1995, 123, N 10

$(HF)_n$

$n \leq 8$

1995

123: 350729d HF vapor. Shum, Martin A. (Laboratorium Physikalische Chemie, ETH Zurich, CH-8092 Zurich, Switz.). *Ber. Bunsen-Ges.* 1995, 99(10), 1159-67 (Eng). IR absorption spectroscopy of HF clusters in synchronized pulsed supersonic jet expansions and at thermal equil. is combined with a 1 + 2 + 3 body decompn. scheme of the potential energy surfaces, different quantum chem. approaches and multidimensional vibrational quantum Monte Carlo calcns. to characterize all major constituents $(HF)_n$ ($n = 1-8$) of the strongly assocd. HF vapor phase in terms of their structure, spectra, energetics, dynamics and abundance. Comparison to existing bulk thermodn. data confirms of HF vapor up to moderate pressures is constructed. Comparison to existing bulk thermodn. data confirms that the model provides a globally correct and detailed microscopic description of this unique assocn. phenomenon together with its explanation.

(copyr mpa,
cmal.,
crrknip)

C. A. 1995, 123 N 26

FHD

1997

Martin, Yan M.D.,

Freudel Chem. Phys. Lett.,
anonym. 1997, 273 (1,2),
meep-
pacet 98-106

(all ● Littl; III)

(HF)_n

n=4-8

Строение

1997

19Б2161. Валентные колебания и строение
кластеров $(HF)_n(n=4-8)$ / Юхневич Г. В., Тарака-
нова Е. Г., Немухин А. В. // Изв. РАН. Сер. хим. [Изв.
АН СССР. Сер. хим.] .— 1997.— № 3.— С. 435-443.—
Рус.; рез. англ.

В рамках полуэмпирической теории колебаний много-
атомных молекул проведен расчет ИК-спектров 24 струк-
турных изомеров кластеров $(HF)_n(n=4-8)$. На основа-
нии полученных результатов и известных эксперимен-
тальных данных высказано предположение о существова-
нии в молекулярных пучках и газовой фазе ассоциатов
 $(HF)_n$, представляющих собой 3-5-членные циклы, к ко-
торым присоединены мономерные молекулы HF. Расчет
ab initio, выполненный методом самосогласованного поля,
показал, что на поверхности потенциальной энергии кла-
сткеров $(HF)_n(n=4-6)$ существуют локальные минимумы,
отвечающие таким структурам.

X.1997, N 19

(HF)₂₋₁₀

(PM-41021)

2003

Hiemstra
Chen,
Mykura,
Koretan.
Czekay

Fredes R.C. et al.,

J. Chem. Phys., 2003,
118, N3, 1272-1281.